

DOI: 10.3969/j.issn.1005-8982.2017.06.004  
文章编号: 1005-8982(2017)06-0017-06

## 小鼠 CD45<sup>-</sup>/CD31<sup>+</sup> 肺侧群细胞诱导分化的研究 \*

张明杰, 李宗泽, 徐杨, 梁迅  
(锦州医科大学 生物化学与分子生物学教研室, 辽宁 锦州 121000)

**摘要:** 目的 探讨在体外诱导分化肺侧群细胞 (SP) 的特性。方法 取小鼠肺组织, 流式细胞术分选小鼠白细胞分化抗原 CD45/CD31<sup>+</sup> 肺 SP; 免疫荧光检测分选肺 SP 三磷酸腺苷结合转运蛋白 G 超家族成员 2 (ABCG2) 的表达; 逆转录聚合酶链反应 (RT-PCR) 检测肺 SP 中 ABCG2、酪氨酸激酶 2 (Tie2) 及血管性血友病因子 (vWF) 的表达。细胞体外分化诱导 14 d 后, 免疫荧光检测细胞 vWF 的表达; RT-PCR 检测分化诱导前后细胞中 ABCG2 和 vWF 的表达。结果 流式细胞术成功分选出 CD45/CD31<sup>+</sup> 肺 SP 细胞, 免疫荧光检测其表达 ABCG2; RT-PCR 检测 SP 表达 ABCG2 和 Tie2, 不表达 vWF。主群细胞表达 vWF; 分化诱导前的肺 SP 表达 ABCG2; 分化诱导后的肺 SP 表达 vWF。结论 CD45/CD31<sup>+</sup> 肺 SP 是血管内皮细胞的祖细胞, 具有干细胞分化特性。在体外培养可分化为血管内皮细胞。

**关键词:** 侧群细胞; 血管内皮细胞; 三磷酸腺苷结合转运蛋白 G 超家族成员 2

**中图分类号:** R329.2

**文献标识码:** A

## Differentiation of mouse CD45<sup>-</sup>/CD31<sup>+</sup> lung side population cells into endothelial cells *in vitro*\*

Ming-jie Zhang, Zong-ze Li, Yang Xu, Xun Liang

(Department of Biochemistry and Molecular Biology, Jinzhou Medical University,  
Jinzhou, Liaoning 121000, China)

**Abstract: Objective** To investigate the characteristics of differentiation of lung side population (LSP) cells *in vitro*. **Methods** Mouse lung tissue was taken, and mouse CD45/CD31<sup>+</sup> LSP cells were sorted by flow cytometry. Immunofluorescence was used to detect the expression of ATP-binding cassette sub-family G member 2 (ABCG2) in the isolated LSP cells. RT-PCR was applied to detect the expression of ABCG2, Tie2 and vWF in mouse CD45/CD31<sup>+</sup> LSP cells. After the LSP cells were cultured for 14 days, the expression of vWF was detected by immunofluorescence, and the mRNA expression of ABCG2 as well as vWF of both freshly isolated LSP cells and cultured LSP cells were examined by RT-PCR. **Results** Flow cytometry sorted out the CD45/CD31<sup>+</sup> LSP cells, and immunofluorescence tested that they expressed ABCG2. RT-PCR results revealed that LSP cells expressed ABCG2 as well as SMA and Tie2, but did not express vWF. LMP highly expressed vWF. The CD45/CD31<sup>+</sup> LSP cells expressed ABCG2, but did not express vWF before induction of differentiation; while the cells expressed vWF instead of ABCG2 after the induction of differentiation. **Conclusions** CD45/CD31<sup>+</sup> LSP cells might be the progenitor cells of vascular endothelial cells, which possess the characteristics of stem cell differentiation, and can be differentiated into vascular endothelial cells *in vitro*.

**Keywords:** side population cell; endothelial cell; ATP-binding cassette sub-family G member 2

肺疾病是引起死亡的主要原因<sup>[1-3]</sup>。肺移植并不是 5 年死亡率 <50% 的万灵药<sup>[4]</sup>, 因此迫切需要新方

法。侧群细胞 (side population cells, SP) 是利用 Hoechst 染料和流式细胞仪进行造血干细胞分离时

收稿日期: 2016-08-25

\* 基金项目: 国家自然科学基金 No: 81370619

[通信作者] 梁迅, E-mail: 1161653758@qq.com

发现的特殊细胞。白细胞分化抗原 cluster of differentiation, CD) 45<sup>+</sup> 为血液细胞标记, CD45<sup>-</sup> 为肺细胞标记, CD31<sup>+</sup> 为内皮细胞标记, CD31<sup>-</sup> 为间充质细胞标记。以往的研究对 CD45<sup>+</sup> 和 CD31<sup>-</sup> 已做报道, 但未报道 CD45<sup>+</sup>/CD31<sup>+</sup><sup>[5-7]</sup>。本实验收集小鼠肺, 流式细胞术分选出 CD45<sup>+</sup>/CD31<sup>+</sup> 侧群细胞, 体外诱导培养, 探讨其是内皮细胞的祖细胞, 可以在体外发育成内皮细胞, 为临床治疗肺疾病提供新思路。

## 1 材料与方法

### 1.1 实验材料

**1.1.1 主要试剂** 内皮培养基 endothelial cell growth medium- 2, EGM- 2, 购自美国 Cambrex 公司, Methocult GF M3534 购自加拿大 STEMCELL Technologies 公司, Trypsin 购自美国 Sigma 公司, 胶原酶、分散酶购自上海吉凯基因化学技术有限公司, RNA 提取试剂盒购自德国 QIAGEN 公司, cDNA 逆转录试剂盒购自美国 ABI 公司, 逆转录聚合酶链反应 ( reverse transcription polymerase chain reaction, RT-PCR) 试剂盒购自美国 Promega 公司, 抗体购自英国 Abcam 公司, Hoechst33342、DAPI、胰蛋白酶、维拉帕米及碘化丙啶 propidium iodide, PI 仪购自美国 Sigma 公司。

**1.1.2 实验仪器** 二氧化碳 CO<sub>2</sub> 孵箱购自美国 Sheldon Manufacturing Inc 公司, 流式细胞仪购自美国贝克曼库尔特公司, 超净工作台购自新加坡 ESCO 公司, 酶标仪购自德国 BMG 公司, 离心机购自德国 Het-tich 公司, 聚合酶链反应 polymerase chain reaction, PCR 仪购自美国 Thermo Scientifics 公司。

**1.1.3 实验动物** 实验小鼠来自辽宁省锦州医科大学动物实验中心。

### 1.2 实验方法

**1.2.1 收集细胞** 取小鼠肺组织用刀片搅碎, 在 37℃、0.1% 胶原酶、2.4 u/ml 分散酶和 2.5 mmol CaCl<sub>2</sub> 条件下孵育 1 h, 磷酸盐缓冲溶液 phosphate balanced solution, PBS 悬浮、过滤, 收集细胞<sup>[8]</sup>。

**1.2.2 流式细胞术分选 CD45<sup>+</sup>/CD31<sup>+</sup> 小鼠肺侧群细胞及检测** 取收集的细胞计数, 将细胞数量调整为 1× 10<sup>6</sup> 个/ml 浓度, 重悬细胞于培养液中。实验组加入终质量浓度为 5 mg/L 的荧光染料 Hoechst33342; 对照组加入终质量浓度为 5 mg/L 的荧光染料 Hoechst 33342 及终质量浓度为 100 mg/L 的维拉帕米。37℃避光水浴 90 min, 每隔 20 min 轻微震荡 1 次。

90 min 后终止染色, 用冷的 PBS 洗涤, 4℃、1 000 r/min 离心 5 min, 去上清液, 用冷的 PBS 重悬。加入终质量浓度为 2 mg/L 的 PI, 上流式细胞仪分选, Hoechst33342 的激发光为 375 nm。流式细胞仪分别收集侧群细胞与主群细胞。用 CD44 和干细胞抗原 1 ( stem cell antigen 1, Sca1) 抗体检测其表达情况<sup>[9]</sup>。

### 1.2.3 免疫荧光染色检测三磷酸腺苷结合转运蛋白 G 超家族成员 2 ( ATP-binding cassette sub-family G member 2, ABCG2) 蛋白表达

将玻片放在流式细胞仪特定位置收集细胞。丙酮固定几秒 (-20℃), PBS 漂洗 3 次, 2 min/ 次。0.5% Triton X-100 处理 20 min, PBS 漂洗 3 次, 2 min/ 次。血清封闭 20 min, PBS 漂洗 3 次, 2 min/ 次。滴加一抗, 37℃ 孵育 2 h, PBS 漂洗 3 次, 2 min/ 次。滴加二抗, 37℃ 孵育 30 min, PBS 漂洗 3 次, 2 min/ 次。加入 4', 6- 二脒基 -2- 苯基 吲哚 ( 4', 6-diamidino-2-phenylindole, DAPI) 染色 5 min, PBS 漂洗 3 次, 2 min/ 次。荧光显微镜观察并拍照。

**1.2.4 RT- PCR 检测 ABCG2、血管性血友病因子 ( von Willebrand factor, vWF) 及酪氨酸激酶 2 tyrosine kinase, Tie2) 基因的表达** 收集的细胞用冷的 PBS 漂洗 2 次, 12 000 r/min 离心 3 min, 弃上清液, 加入 350 μl 裂解缓冲液, 充分裂解。加入 1 ml Trizol, 冰上匀浆。转入新的 1.5 ml 离心管, 室温保存 5 min。加 0.2 ml 氯仿, 震荡混匀, 室温放置 5 min。4℃、10 000 r/min 离心 15 min, 将上层吸到一个新的 1.5 ml 离心管, 按照试剂盒说明书提取 RNA。按照试剂盒说明书将其逆转录成 cDNA。按照试剂盒说明书进行 PCR 反应, 反应条件为: 95℃ 预变性 3 min, 95℃ 变性 1 min, 55℃ 退火 30 s, 72℃ 延伸 1 min, 共 30 个循环, 72℃ 继续延伸 10 min。PCR 扩增产物用

表 1 PCR 引物序列

基因	引物序列
ABCG2	正向: 5'- GTGGCATCTCTGGAGGAGAA- 3' 反向: 5'- GGGCCACATGATTCTTCCAC- 3'
Tie2	正向: 5'- CCGTGGACAGGGGAGATAAT- 3' 反向: 5'- CCACTACACCTTCTTTACA- 3'
β - actin	正向: 5'- GGTGTATGGTGGGAATGGGTC- 3' 反向: 5'- CTTCTCCAGGGAGGAAGAGGATG- 3'
vWF	正向: 5'- GCGATCCCCACTCTTCC- 3' 反向: 5'- TTGACGAGGCAGGGGTTC- 3'

1%琼脂糖凝胶电泳检测。见表 1。

**1.2.5 细胞克隆形成实验及流式细胞术检测其是否为 CD45<sup>-</sup>/CD31<sup>+</sup> 小鼠肺侧群细胞** 用 Methocult GF M3534 media 培养基连续培养 CD45<sup>-</sup>/CD31<sup>+</sup> 小鼠肺侧群细胞 14 d, 用流式细胞仪检测。

**1.2.6 细胞体外分化诱导及免疫荧光检测 vWF 表达和 RT- PCR 检测 ABCG2 的表达** 将流式细胞仪分选的细胞用 EGM-2 培养基在 37°C、5%CO<sub>2</sub> 条件下, 连续培养 14 d。14 d 后, 取一部分培养的细胞应用免疫荧光技术检测 ABCG2 的表达, 再取一部分培养的细胞(14 d) 和新分选的细胞(0 d) 通过 RT- PCR 反应检测两者 ABCG2 和 vWF 的表达, 方法同 1.2.4。通过 Image Pro Plus 6.0 软件进行分析, 测其积分光密度值, 以各条带值与内参条带值之比为目的基因的相对表达量。

### 1.3 统计学方法

数据分析采用 SPSS 17.0 统计软件, 计量资料以均数±标准差 ( $\bar{x} \pm s$ ) 表示, 用 t 检验,  $P < 0.05$  为差异有统计学意义。

## 2 结果

### 2.1 分选的 CD45<sup>-</sup>/CD31<sup>+</sup> 小鼠肺侧群细胞

分离的收集的细胞经过流式分选后, 侧群细胞位

于左下角两种荧光均很弱的区域。实验组低染区侧群细胞比例为 0.4%, 对照组低染区侧群细胞比例 < 0.4%, 被维拉帕米阻滞, 证实从小鼠肺组织收集的细胞中确实存在侧群细胞。进一步分选出 CD45<sup>-</sup>/CD31<sup>+</sup> 肺侧群细胞, 所占比例为 22%。CD 分化群 44 及 Sca1 检测结果呈现 CD44 阴性, Sca1 阳性。见图 1。

### 2.2 ABCG2 蛋白的表达

分选的 CD45<sup>-</sup>/CD31<sup>+</sup> 肺侧群细胞进行免疫荧光染色, 观察到细胞表达 ABCG2 蛋白。见图 2。

### 2.3 ABCG2、vWF 及 Tie2 基因的表达

RT- PCR 检测基因表达, 结果呈现肝脏特异性脂蛋白 (liver specific lipoprotein, LSP) 高表达 ABCG2, 肺主群细胞 (lung main population, LMP) 不表达 ABCG2。LSP 表达的 ABCG2 相对含量与 LMP 比较, 经 t 检验, 差异有统计学意义 ( $t = 58.441, P = 0.000$ )。LMP 高表达 vWF, LSP 不表达 vWF, LSP 表达的 vWF 相对含量与 LMP 比较, 经 t 检验, 差异有统计学意义 ( $t = -12.291, P = 0.000$ )。Tie2 在 LSP 与 LMP 中均表达, LSP 表达的 Tie2 相对含量与 LMP 比较, 经 t 检验, 差异有统计学意义 ( $t = -95.905, P = 0.000$ )。Tie2 是内皮细胞的标记, 提示 LSP 可能是内皮细胞的祖细胞。见表 2 和图 3。

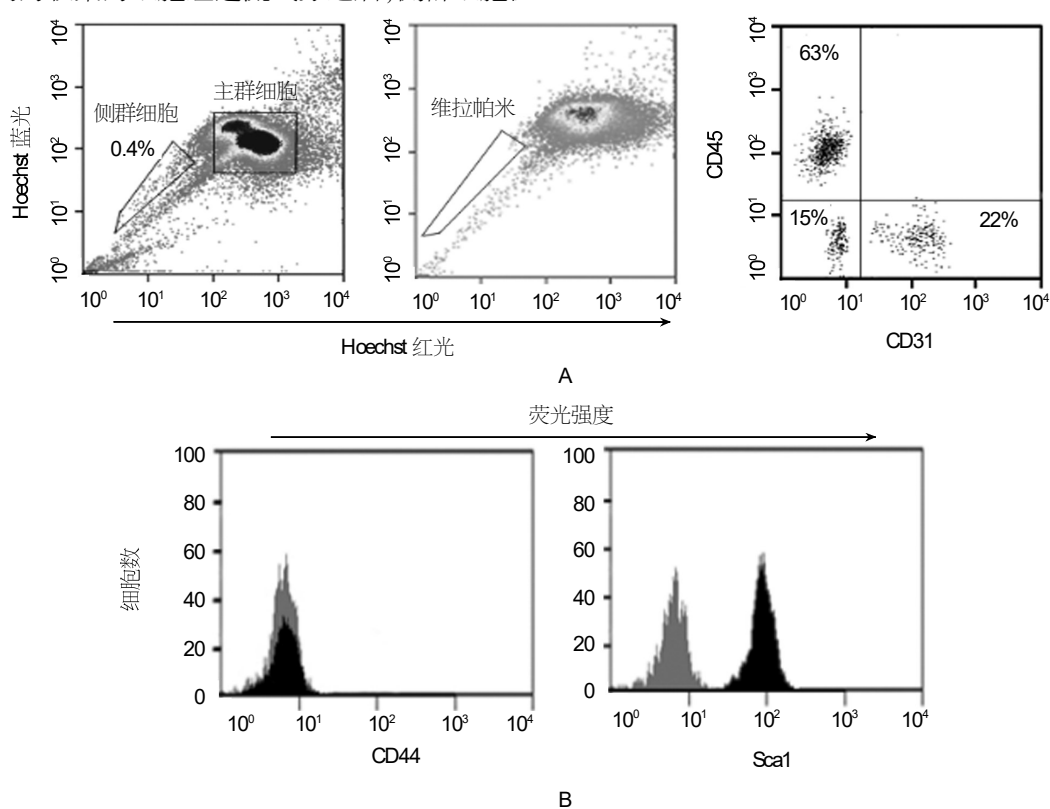
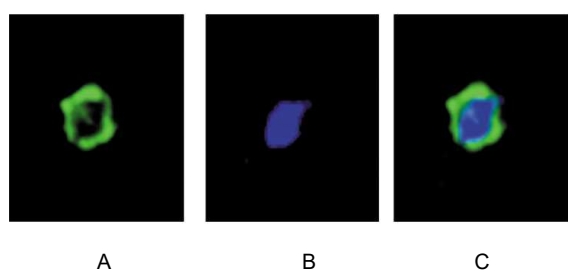


图 1 分选的小鼠 CD45<sup>-</sup>/CD31<sup>+</sup> 肺侧群细胞



A:ABCG2 蛋白的表达;B:DAPI 染色细胞核;C:A 和 B 的合并图

图 2 ABCG2 蛋白的表达 ( $\times 40$ )表 2 CD45 $^{+}$ /CD31 $^{+}$ 肺 SP 与肺 MP 的 ABCG2、vWF 及 Tie2 相对表达量比较 ( $n=8, \bar{x} \pm s$ )

组别	ABCG2	Tie2	vWF
CD45 $^{+}$ /CD31 $^{+}$ 肺 SP 组	0.506 $\pm$ 0.024	0.312 $\pm$ 0.013	0.016 $\pm$ 0.005
肺 MP 组	0.012 $\pm$ 0.003	0.503 $\pm$ 0.042	0.824 $\pm$ 0.023
t 值	58.441	- 12.291	- 95.905
P 值	0.000	0.000	0.000

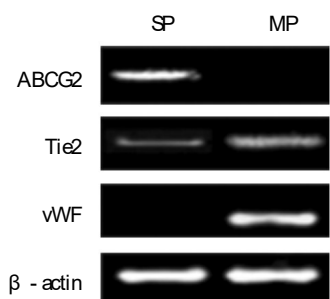


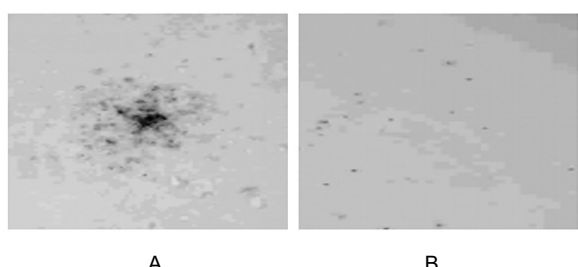
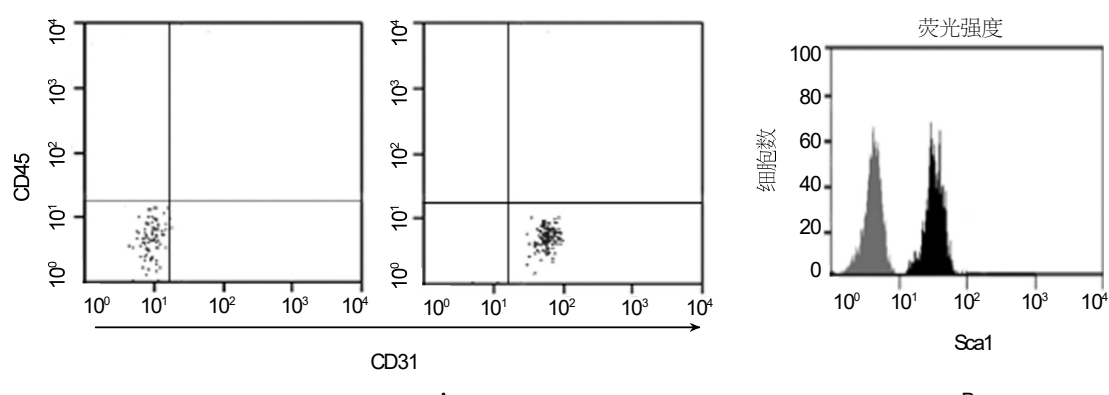
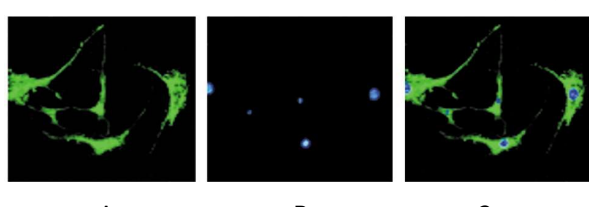
图 3 ABCG2、vWF 及 Tie2 的表达

#### 2.4 CD45 $^{-}$ /CD31 $^{+}$ 小鼠肺侧群细胞的检测结果

分选的 CD45 $^{-}$ /CD31 $^{+}$ 肺侧群细胞克隆形成实验后,结果呈现 LSP 大量增殖并呈现聚集生长状态,流式技术结果呈现 Sca1 阳性,其仍然是 CD45 $^{-}$ /CD31 $^{+}$ 小鼠肺侧群细胞。见图 4、5。

#### 2.5 vWF 和 ABCG2 的表达

细胞体外分化诱导,免疫荧光检测结果呈现有 ABCG2 的表达;RT-PCR 检测结果呈现诱导前的 LSP 表达 ABCG2,诱导后的 LSP 不表达 ABCG2,诱导前 LSP 表达的 ABCG2 相对含量与诱导后比较,经 t 检验,差异有统计学意义 ( $t=62.682, P=0.000$ )。诱导后的 LSP 表达 vWF,诱导前的 LSP 不表达 vWF,诱导前的 LSP 表达的 vWF 相对含量与诱导后比较,经 t 检验,差异有统计学意义 ( $t=-19.503, P=0.000$ );说明 CD45 $^{-}$ /CD31 $^{+}$ 小鼠肺侧群细胞分化成血管内皮细胞。见图 6、7 和表 3。

A:侧群细胞形成细胞克隆;B:侧群细胞未形成细胞克隆  
图 4 CD45 $^{-}$ /CD31 $^{+}$ 小鼠肺侧群细胞克隆形成图 5 流式细胞仪检测 CD45 $^{-}$ /CD31 $^{+}$ 

A:vWF 的表达;B:DAPI 染色细胞核;C:A 和 B 的合并图

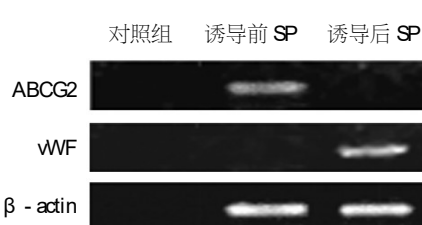
图 6 vWF 的表达 ( $\times 40$ )

图 7 ABCG2 和 vWF 的表达

**表3 诱导前后侧群细胞 ABCG2、vWF 的相对表达量比较**  
(n=8,  $\bar{x} \pm s$ )

组别	ABCG2	vWF
诱导前	0.710± 0.025	0.012± 0.005
诱导后	0.031± 0.018	0.321± 0.044
t值	62.682	-19.503
P值	0.000	0.000

### 3 讨论

近年来,对侧群细胞的研究和应用都取得很大进展,侧群细胞由于分布广泛,含量丰富,又有明确的表型标记和分离纯化方法,所以可以用于基因治疗、生物医学研究、生长发育过程研究等领域。侧群细胞可以通过不对称分裂产生大量与自己相同的子代细胞,同时也能分化成具有有限分化能力的后代。MOSERLE 等<sup>[10]</sup>发现,肝癌细胞株 Hep3B、MHCC97-L、MHCC97-H 及 HCCLM3 所含的侧群细胞比例分别为 0.9%、4.2%、14.5% 和 28.7%,所得高纯度的侧群细胞在体外培养后,这 4 种细胞株始终能保持一定的侧群细胞比例,说明侧群细胞具有自我更新的功能,这有助于维持稳定的细胞储备。新的研究表明,侧群细胞及肿瘤干细胞驱动和维持人类肿瘤的多种类型<sup>[11]</sup>。侧群细胞在动物模型中能够产生肿瘤,非侧群细胞则不能<sup>[12]</sup>,从肿瘤干细胞中分离侧群细胞,进而研究侧群细胞的特性<sup>[13]</sup>。侧群细胞的克隆形成和侵袭能力明显高于非侧群细胞,该特征进一步表明侧群细胞的其他属性<sup>[14]</sup>。同时,对肺侧群细胞进行研究,对肺损伤及肺部疾病的治疗有非常重要的意义,对肿瘤的防治和干细胞生物学的发展有深远的影响<sup>[15]</sup>。

肺是呼吸系统的一部分,功能是进行气体交换,良好的肺功能是维持生命的保障。胸外科角度上肺是胸腔内最大的脏器,也是胸外科中病变种类和发病数量最多的器官。常见的肺部疾病有气胸、肺大泡、肺气肿和肺癌,肺源性心脏病、呼吸衰竭、肺栓塞、肺脓肿、肺炎、新生儿肺炎、小儿肺炎、气管炎、哮喘、肺结核、尘肺、间质性肺疾病、呼吸系统疾病等。肺部疾病比较常见,而且发起病来后果严重,甚至危及生命,例如慢性肺源性心脏病,是由于肺组织、肺动脉的原发性病变,使肺血管阻力增加,肺动脉压力升高,从而造成右心负荷加重,右心室肥大,最终导致右心功能衰竭,继而危及生命<sup>[16]</sup>。研究肺侧群细胞分化为血管内皮细胞,可以为由于肺损伤及肺疾病

等引起的细胞损伤提供新的细胞,从而延缓病情。

本实验分选小鼠 CD45<sup>+</sup>/CD31<sup>+</sup> 肺侧群细胞,通过体外诱导分化培养,最终分化发育为血管内皮细胞。实验结果表明,CD45<sup>+</sup>/CD31<sup>+</sup> 肺侧群细胞是血管内皮细胞的祖细胞,具有干细胞分化特性。这为临床干细胞的来源获取提供新途径,并且为干细胞的研究及肺部疾病的治疗研究提供新的思路。

### 参 考 文 献:

- TASHKIN D P, ROTH M D, CLEMENTS P J, et al. Mycophenolate mofetil versus oral cyclophosphamide in scleroderma-related interstitial lung disease (SLSII): a randomised controlled, double-blind, parallel group trial [J]. The Lancet Respiratory Medicine, 2016, 4(9): 708-719.
- GUYATT GH, BERMAN L B, TOWNSEND M, et al. A measure of quality of life for clinical trials in chronic lung disease [J]. Thorax, 1987, 42(10): 773-778.
- van MARTER L J, ALLRED E N, PAGANO M, et al. Do clinical markers of barotrauma and oxygen toxicity explain interhospital variation in rates of chronic lung disease [J]. Pediatrics, 2000, 105(6): 1194-1201.
- MURPHY B P, INDER T E, HUPPI P S, et al. Impaired cerebral cortical gray matter growth after treatment with dexamethasone for neonatal chronic lung disease [J]. Pediatrics, 2001, 107(2): 217-221.
- SUMMER R, KOTTON D N, LIANG S, et al. Embryonic lung side population cells are hematopoietic and vascular precursors [J]. American Journal of Respiratory Cell and Molecular Biology, 2005, 33(1): 32-40.
- LIANG S X, KHACHIGIAN L M, AHMADII Z, et al. In vitro and in vivo proliferation, differentiation and migration of cardiac endothelial progenitor cells (SCA1<sup>+</sup>/CD31<sup>+</sup> side-population cells) [J]. Journal of Thrombosis and Haemostasis, 2011, 9(8): 1628-1637.
- SUMMER R, FITZSIMMONS K, DWYER D, et al. Isolation of an adult mouse lung mesenchymal progenitor cell population [J]. American Journal of Respiratory Cell and Molecular Biology, 2007, 37(2): 152-159.
- LIANG S X, SUMMER R, SUN X, et al. Gene expression profiling and localization of Hoechst-effluxing CD45<sup>+</sup> and CD45<sup>+</sup> cells in the embryonic mouse lung [J]. Physiological Genomics, 2005, 23(2): 172-181.
- LIANG S X, TAN T Y L, GAUDRY L, et al. Differentiation and migration of Sca1<sup>+</sup>/CD31<sup>+</sup> cardiac side population cells in a murine myocardial ischemic model [J]. International Journal of Cardiology, 2010, 138(1): 40-49.
- MOSERLE L, GHISI M, AMADORI A, et al. Side population and cancer stem cells: therapeutic implications [J]. Cancer Letters, 2010, 288(1): 1-9.
- BOESCH M, ZEIMET A G, FIEGL H, et al. High prevalence of side population in human cancer cell lines [J]. Oncoscience,

- 2016, 3(3/4): 85.
- [12] TABOR M H, CLAY M R, OWEN J H, et al. Head and neck cancer stem cells: the side population [J]. The Laryngoscope, 2011, 121(3): 527- 533.
- [13] NAKAYAMA M, OGASAWARA S, AKIBA J, et al. Side population cell fractions from hepatocellular carcinoma cell lines increased with tumor dedifferentiation, but lack characteristic features of cancer stem cells[J]. Journal of Gastroenterology and Hepatology, 2014, 29(5): 1092- 1101.
- [14] YANG M, ZHANG R, YAN M, et al. Detection and characterization of side population in Ewings sarcoma SK-ES-1 cells in vitro[J]. Biochemical and Biophysical Research Communications, 2010, 391(1): 1062- 1066.
- [15] 曹志飞, 李新平, 陈志欣, 等. 边缘细胞的研究进展[J]. 中国药理学通报, 2007, 23(11): 1405- 1408.
- [16] 应茵, 黄萍, 羊波. 中药防治肺心病实验研究进展[J]. 浙江中西医结合杂志, 2013, 23(1): 75- 78.

(童颖丹 编辑)

### 欢迎订阅《中国现代医学杂志》

《中国现代医学杂志》创刊于 1991 年,是一本医学综合性学术期刊。由中华人民共和国教育部主管,中南大学湘雅医院承办。创刊以来始终坚持以服务广大医药卫生科技人员、促进国内外医学学术交流和医学事业发展为宗旨,密切关注世界医学发展的新趋势,积极推广国内医疗卫生领域的高新技术、新成果,及时交流广大医药卫生人员的医学科学理论和业务技术水平,成为国内外医学学术交流的重要园地,已进入国内外多个重要检索系统和大型数据库。如:中文核心期刊(中文核心期刊要目总览 2008、2011 和 2014 版)、中国科技论文与引文数据库即中国科技论文统计源期刊(CSTPCD)、俄罗斯文摘 AJ、中国学术期刊综合评价数据库、中国期刊网全文数据库(CNKI)、中文科技期刊数据库、中文生物医学期刊文献数据库(CMCC)、超星“域出版”及中国生物医学期刊光盘版等。

《中国现代医学杂志》辟有基础研究·论著、临床研究·论著、综述、新进展研究·论著、临床报道、学术报告、病例报告等栏目。主要刊登国内外临床医学、基础医学、预防医学以及医学相关学科的新理论、新技术、新成果,以及医院医疗、教学、科研、管理最新信息、动态等内容。主要读者为广大医药卫生科技人员。

《中国现代医学杂志》为半月刊,国际标准开本(A4 幅面),全刊为彩色印刷,无线胶装。内芯采用 90 g 芬欧汇川雅光纸(880×1230 mm),封面采用 200 g 紫鑫特规双面铜版纸(635×965 mm)印刷,每个月 15、30 日出版。定价 35 元 / 册,全年 840 元。公开发行,国内统一刊号:CN 43- 1225/R; 国际标准刊号:ISSN 1005- 8982; 国内邮发代号:42- 143。欢迎新老用户向当地邮局(所)订阅,漏订或需增订者也可直接与本刊发行部联系订阅。

联系地址:湖南省长沙市湘雅路 87 号《中国现代医学杂志》发行部,邮编:410008

电话:0731- 84327938; 传真:0731- 89753837; E-mail:xdyx99@126.com

唯一官网网址:[www.zgxdyx.com](http://www.zgxdyx.com)

《中国现代医学杂志》编辑部